Ni ナノドットによる初期核発生制御を活用した高結晶性 Si:H/Ge:H ヘテロ構造の低温堆積

Low Temperature Formation of Crystalline Si/Ge Heterostructures by Plasma Enhanced CVD in Combination with Ni-NDs Seeding Nucleation

¹名大院工,²広大院先端研, ^{○1}盧 義敏, ¹高 金, ¹牧原 克典, ²酒池 耕平, ²藤田 悠二, ²池田 弥央, ²大田 晃生, ²東 清一郎, ¹宮崎 誠一

¹ Nagoya Univ., ² Hiroshima Univ., ⁰¹ Yimin Lu, ¹ Jin Gao, ¹ Katsunori Makihara, ² Kouhei Sakaike, ² Yuji Fujita, ² Mitsuhisa Ikeda, ² Akio Ohta, ² Seiichiro Higashi and ¹ Seiichi Miyazaki E-mail: miyazakilab@googlegroups.com

序>これまでに、極薄金属膜へのリモート H_2 プラズマ照射により形成した高密度金属ナノドット [1,2]を活用して、 GeH_4 ガスの VHF-ICP における初期結晶核発生を助長することで、 石英基板上 にアモルファスインキュベーション層を形成することなく高結晶性 Ge 薄膜が高速堆積できることを報告した[3]。本研究では、この手法を用いて作成した高結晶性 Ge:H 薄膜上へ SiH_4 ガスの VHF-ICP により Si:H 薄膜の低温堆積を行った。

実験〉石英基板上に Ar スパッタにより膜厚~2nm の Ni 薄膜を堆積した後、石英窓上に 1 ターンコイル状外部アンテナを配置した ICP-CVD 装置において、外部非加熱で VHF(60MHz) H_2 プラズマ処理を施し、同一チャンバ内にて引き続き、水素希釈 $10\%GeH_4$ ガスのグロー放電分解により Ge:H 膜を堆積した後、水素希釈 $10\%SiH_4$ ガスのグロー放電分解により Si:H 膜を連続堆積した。 SiH_4 -PECVD 時におけるガス流量(SiH_4 + H_2)、堆積圧力、VHF投入電力は、それぞれ 35sccm、50mTorr、 30W で一定とした。 尚、Ge および Si 薄膜は基板温度 -Si:H

結果及び考察>形成した Si:H(厚さ~39nm)/Ge:H(厚さ 66nm)積層膜の結晶性をレーザ光波長 532nm で励起し てラマン散乱により試料表面側から評価した結果(Fig. 1)、c-Si TO フォノンピーク(520cm⁻¹)から 12cm⁻¹ 低波数 側へシフトしたシャープな信号が明瞭に認められた。 この試料における各層の堆積速度は、~6.6nm/s(Ge:H層)、 ~0.13nm/s(Si:H層)であった。Si 膜堆積前のGe:H膜は、 下地 Ni-NDs により初期結晶核の発生が効率的に誘起 されたことに起因して平均直径~35nm のグレイン成長 が認められることから(Fig. 2(a))、Si:H のラマンシフト は、下地 Ge:H 結晶粒からエピタキシャル成長した Si 膜が、構造緩和していないことに起因して引張り歪結 晶 Si:H 膜(Fig. 2(b))が形成された結果として解釈できる。39nm-thick また、結晶相と非結晶相の TO フォノン信号の積分強 度比から見積もった Ge:H 膜上に形成した Si 薄膜の結 晶化率は~51%であった。さらには、390cm⁻¹ 近傍に SiGe に起因するピークが僅かに確認でき、Si 膜堆積初期に おいて、下地 Ge:H 膜と混晶化したことが示唆された。

結論 > 極薄 Ni 膜の VHF H_2 -ICP 処理により Ni ナノドットを高密度($\sim 10^{11}$ cm $^{-2}$)形成した石英基板上に高結晶性 Ge: H 薄膜を堆積し、引き続き SiH_4 -PECVD することで、結晶化率 51% を越える結晶性 Si/Ge ヘテロ積層膜が堆積できた。

文献>[1] K. Makihara et al., Jpn. J. Appl. Phys., 47 (2008) 3099. [2] K. Makihara et al., J. Opt. Adv. Mat. 12 (2010) 626. [3] 高 他, 第 59 回春季応用物理学会, 16a-B6-5.

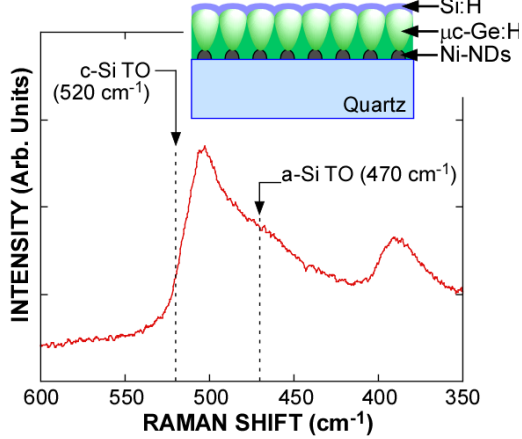


Fig. 1 Raman scattering spectrum of 39nm-thick Si :H film formed on μc-Ge(66nm)/Ni-NDs/Quartz.

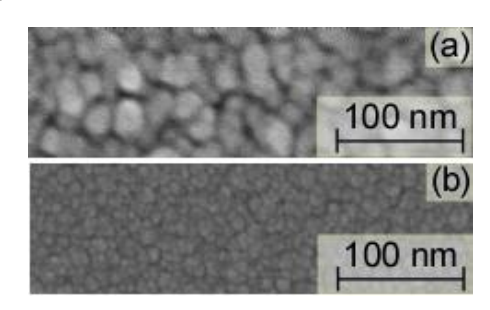


Fig. 2 Top-view SEM image of 42nm-thick Ge film deposited on Ni-NDs/ Quartz (a) and 39nm-thick Si film deposited on Ge(66nm)/Ni-NDs/ Quartz (b).